

京都大学防災研究所

正会員 土屋義人

"

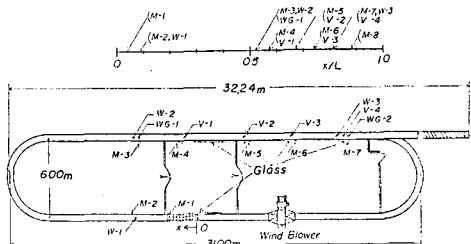
○ 山下隆男

京都大学 大学院

学生員 関 栄樹

1. 緒言 ここ十数年、高潮災害は減少する傾向にあるようにみえるが、そのポテンシャルはむしろ、高まっていると考えられる。また、わが国では人口および社会活動が太平洋に面する港湾に集中しているため、強風による吹き寄せ効果の卓越する港内高潮に對して、最も危険な社会的地域性を有している。しかも、この種の高潮に対する數値予知には、複雑な境界条件とともに、波浪および吹送流に伴う港内海水の運動の影響を的確に評価することが予知精度の向上に必須である。そこで、波浪および海水の運動特性を高潮の数値予知に十分考慮するために、本研究においては、まず吹き寄せに伴う海水の運動特性を阐明しようとするものである。

2. 実験装置および方法 実験には風洞を有する海岸表表シミュレータを用い、最大吹送距離を 52.9m とし、各実験装置を図-1 に示すごとく設置した。ここに、M はマノメータ、W.G. は波高計、W は風速計、V は流速分布測定位置を示す。実験は平均水位が定常になると、たとえ状態を対象とした。流速分布の測定には、水素気泡法を用い、一定時間に多数枚の写真を撮影し平均することにより鉛直方向各点における流速を求めた。また、水位変動の測定には、マノメータと low-pass filter に接続し周期 10sec 以上の変動のみ取り出すようにした容量式波高計を用い、風速の測定には小型のプロペラ式風速計を用いた。



3. 実験結果および考察 実験は表-1 に示す条件を行った。図-2 の (a) および (b) は定常状態における流速分布の測定結果で、図中 1, 2, および 3 の数字はフィルムからの読み取率を示し、1 は 80% 以上、2 は 50% ~ 80%，3 は 50% 以下である。図-2 (a) に示す Run-1 の流速分布測定の結果において、 $U_1$ ,  $U_2$  および  $U_3$  は撮影間隔と枚数を変えて平均した結果で、 $U_1$  は 2 sec 間隔で 3 min 間の合計 90 枚から、 $U_2$  および  $U_3$  は 10 sec 毎に 2 枚ずつ 4 min 間の合計 48 枚から得た結果である。

枚数の多い  $U_3$  は当然滑らかな曲線となるが、三者とも傾向およびオーダーがよく一致していることから、Run-2 では 5 sec 間隔で 4 min 間に撮影した 48 枚の写真から平均して求めた。図-2 (b) にその結果を示す。図中、 $V-1$  ～  $V-4$  は図-1 に示す各測定位置において測定した定常状態での流速分布であり、その場所的変化を表している。この図からわかるように、各点での流速の分布形は非常によく似ているが、 $V-1$  および  $V-4$  と  $V-2$  および  $V-3$  との値にはかなりの相違がある。これは後述するような海水運動の影響であると考えられる。ここでは底面の都合上四面を割愛したが、水槽内の平均水位は送風開始直後、Run-1 で約 0.6 mm, Run-2 で約 1.4 mm の振幅で、その周期が約 52 sec の振動を示す。これは時間とともに減衰し、約 60 min 後には消滅してしまう。しかし、その後も微妙な力の釣合の崩れから起る、振幅 0.2 mm 程度の海水運動が偶然的に生じ、これが流速分布に影響を及ぼしているものと考えられる。また、図-2 の (a) と (b) との比較から、風速が大きくなるにつれ、流速の負の成分は鉛直方向に一様になる傾向にあることがわかる。

4. 風波の影響を考慮した吹送流の理論および実験結果との比較 吹送流に関する理論的研究としては、

表 1 実験条件

	吹送距離 $F$ (m)	水深 $h$ (cm)	風速 $U$ (m/sec)	水温 $T_w$ (°C)	気温 $T_a$ (°C)	気温差 $\Delta T_w$ (msec)	波高測定 $\Delta p$ (sec)
Run 1	52.9	43.88	5.00	5.6	4.1 ? 3.8	0.1	0.87
Run 2	52.9	42.25	6.71	3.8	1.2 ? 0.8	0.1	0.76

Reid (1957) の研究が著名である。この理論では、底面と水面におけるせん断応力  $\tau_b$ ,  $\tau_s$  の比をパラメータとして吹送流の流速分布を定式化しているため、風波による運動量の輸送を直接に評価することはできない。ここでは、吹送流の流速分布特性に風波の影響をあらわにした理論の展開を 2通り試み、その結果を実験結果と比較考察する。そのオ1は、風波の水位の軌跡の鉛直方向の性のオーダーとしての混合距離を仮定する方法で、オ2は、表による鉛直方向の運動量収束を直接導入する方法である。前者の取り扱いは次のようである。等流状態を仮定し、混合距離を微小振幅理論を適用して、次式で表わす。

$$l = k(z + z_0)(h - z) + \frac{ka \sinh(kh)}{(\sinh kh)} \quad (1)$$

式(1)を用いて運動量輸送理論から次式を解く。

$$\tau_b + (\tau_s - \tau_b)z/h = \rho l^2 |d\bar{U}/dz| (d\bar{U}/dz) \quad (2)$$

ここに、座標は水底を原点として鉛直上向きに又軸をとり、 $a$ ；振幅、 $z$ ；波数、 $k$ ；水深、 $h$ ；Kármán定数、 $\kappa$ ；水底の粗さを示すパラメター、および  $\tau$ ；波の影響を示す定数である。

後者は、平均流速  $\bar{U}$ 、乱れの変動速度  $\bar{w}$ 、 $w$  および表に伴う水粒子速度  $u_0$ 、 $w_0$  を考慮し、水深は一定で水平方向の混合を無視して運動方程式を解くものである。すなわち、

$$\partial(\bar{U}w)/\partial z = -(1/\rho) \partial \bar{P}/\partial z, \quad \partial(\bar{w}^2)/\partial z = -(1/\rho) \partial \bar{P}/\partial z - g \quad (3)$$

において、微小振幅理論を用いれば、次式が得られる。

$$\rho l^2 |d\bar{U}/dz| |d\bar{U}/dz| = \rho(g + \kappa a^2 \partial^2 \coth kh) \lambda + \tau_s \quad (4)$$

$$l = k(z + z_0)(h - z + \lambda)/h \quad (5)$$

ここに、 $\lambda$ ；水面の粗さを示すパラメター、 $\lambda = 2\pi/T$ 、 $T$ ；周期、および  $\rho$ ；水面勾配である。図-3は、式(1)および(2)から求められた流速分布と Reid の理論結果とを着者らや Baines & Knapp らの実験結果と比較したものである。

この図から次のことがわかる。0.4 <  $z/h$  < 0.7 の領域において、両実験結果はよく一致するが、0 <  $z/h$  < 0.4 では Baines および Knapp の実験結果は理論結果と一致し、着者らの実験結果とかなり相違している。これは、着者らの実験では、吹送距離が長く、風波の影響が大きい場合を対象としているのに対し、Baines および Knapp の場合は、風波の影響が比較的小さい、水槽の半分に渡って設置されている傾斜海浜でのもどり流れの影響が残っているためではないかと考えられる。しかし、その影響がどの程度であるかは明らかでない。なお、上述したオ2の表による鉛直方向の運動量収束を直接導入した方法による結果の詳細は講演時に述べる。

**5. 結語** 以上の結果から、風波の影響が大きい場合の吹送流の流速分布は、Reid の理論や混合距離に風波の影響を考慮した着者らの理論とはあまり一致せず、もどり流れは、ほぼ全断面ごと一様になり、水面付近での強い前向きの流れと明確に区別されることがわかった。今後、理論結果と実験結果の相違する原因を明らかにし、表の影響を考慮した吹送流れの流速分布特性を検討する必要があろう。

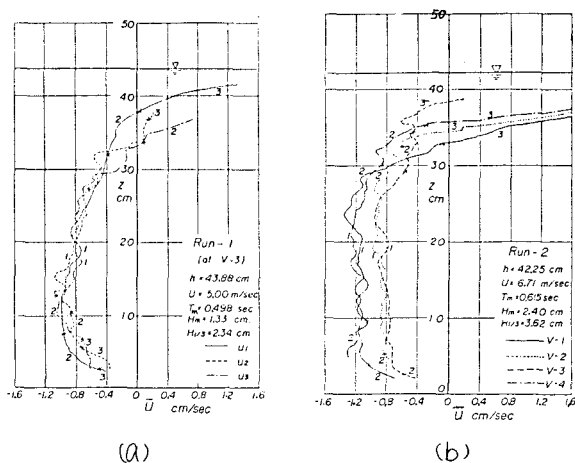


図-2 定常状態における吹送流の流速分布

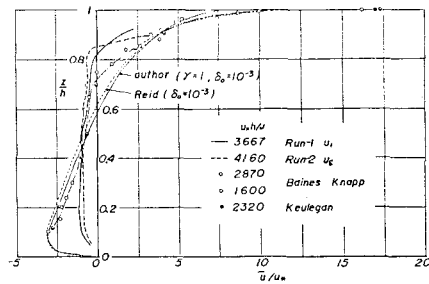


図-3 吹送流の流速分布の理論曲線と実験結果との比較